

# $\text{Eu}^{3+}$ イオンをドープした $\text{Al}_2\text{O}_3\text{-SiO}_2$ ゲルガラスの作製と発光特性

西 林 洋 平\*\*・内 田 健 治\*

## Optical properties of Eu-doped $\text{Al}_2\text{O}_3\text{-SiO}_2$ gel glasses

Kenji Uchida and Youhei Nishibayashi

The  $\text{Al}_2\text{O}_3\text{-SiO}_2$  gel glasses were prepared by the sol-gel process. The gels synthesized by the hydrolysis of  $\text{Si}(\text{OC}_2\text{H}_5)_4$ ,  $\text{Al}(\text{NO}_3)_3\cdot 6\text{H}_2\text{O}$ ,  $\text{Eu}(\text{NO}_3)_3\cdot 6\text{H}_2\text{O}$  were heated in air from 200 to 900 °C. The excitation energy dependences of fluorescence spectrum and the phonon sidebands were investigated for  $\text{Al}_2\text{O}_3\text{-SiO}_2$  gel glasses. The Phonon sideband peaks associated with the  $^7\text{F}_0 \rightarrow ^5\text{D}_2$  transition of  $\text{Eu}^{3+}$  ion were observed at 545 and 650  $\text{cm}^{-1}$ , which were assigned to the Al-O bonds with the  $\text{AlO}_6$  octahedral and the  $\text{AlO}_4$  tetrahedral, respectively.

### 1. はじめに

希土類イオンは通常3価の状態にあり、可視領域に原子固有の蛍光を高効率に放つ。この発光は4f軌道内電子遷移によるもので、最外殻にある $5s^25p^6$ 電子の遮蔽効果により鋭い発光スペクトラルを示す。そのため、カラーテレビの蛍光体、レーザー材料や光源などの材料として利用されている。また、最近では、希土類イオンをドープしたガラスや半導体が光機能材料として着目され、発光・波長変換材料や光增幅等の材料として研究開発されている<sup>1-3</sup>。

ガラスの作製法の一つとしてソルゲル法があり、それは高純度な材料の合成が可能で、また、母体材料の組成を比較的制御しやすく、光機能材料の合成法として期待されている。しかし、この方法で作製した希土類イオンを含むゲルガラスには、希土類イオンのクラスター化による発光効率の低下の問題がある。これは $\text{Al}^{3+}$ などの陽イオンを共添加することにより解消されが、希土類イオンの光学的性質と局所構造の関係について十分に理解されていない。そこで、赤色発光体として良く知られている希土類の $\text{Eu}^{3+}$ イオンをドープしたゲルガラスを作製し、 $\text{Eu}^{3+}$ の光学的性質と局所構造との関係について調べた。

\* 電気電子工学科 \*\* 元電気工学専攻大学院生（現 核燃料サイクル開発機構）

## 2. 試料作製と実験方法

$\text{Eu}^{3+}$ イオンを含む  $\text{Al}_2\text{O}_3 \cdot \text{SiO}_2$  ゲルガラスの作製工程を図1に示す。ゲルガラスの前駆体溶液は、 $\text{C}_2\text{H}_5\text{OH}$ ,  $\text{H}_2\text{O}$  と  $\text{HNO}_3$  の混合液に  $\text{Si}(\text{OC}_2\text{H}_5)_4$  – 99.9999%,  $\text{Al}(\text{NO}_3)_3 \cdot 9\text{H}_2\text{O}$  と  $\text{Eu}(\text{NO}_3)_3 \cdot 6\text{H}_2\text{O}$  を溶解して作成した。 $\text{Si}(\text{OC}_2\text{H}_5)_4$  :  $\text{C}_2\text{H}_5\text{OH}$  :  $\text{H}_2\text{O}$  :  $\text{HNO}_3$  のモル比は 1 : 2 : 4 : 0.005 で、 $\text{Eu}(\text{NO}_3)_3$  のドープ量はモル比で  $\text{Eu}^{3+}/\text{SiO}_2 = 0.02$  であった。作成した前駆体溶液を容器に入れ、アルミホイルで密閉し 40°C で 2 日間放置した。その後、アルミホイルに 3, 4 個の小穴をあけ、室温に 20 ~ 30 日放置すると湿潤ゲルガラスが作製される。作製された試料は透明で、厚さ 1mm × 直径 8mm 程度の大きさで、この湿潤ゲルガラスの密度は約 1.5g/cm<sup>3</sup> であった。この試料を更に高密度化させるためマッフル炉に入れ、昇温速度 3 °C/h で 200 ~ 900 °Cまでの間の温度に上げて、空気中で約 2 時間の熱処理をおこなった。900 °Cで熱処理した試料の密度は約 2g/cm<sup>3</sup> でシリカガラスの密度近い。

発光スペクトルの測定は、励起光源として 500W Xe ランプ、分光器は Jobin Yvon 社製 HR320、光検出器は Andor 社製 CCD – DU420 を使用した。試料はガスフロー型のクライオスタットにセットし、試料の温度を 77K ~ 300 K の範囲で変化させ測定した。

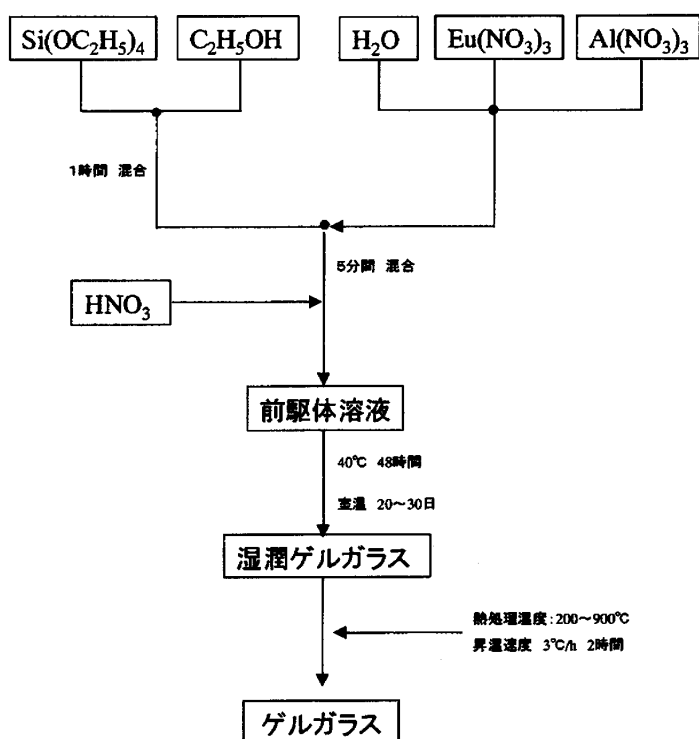


図1 ゲルガラスの作製工程

## 3. 実験結果と考察

### 3.1 発光スペクトルと励起波長依存性

図2は、 $5\text{Al}_2\text{O}_3 \cdot 95\text{SiO}_2$  ゲルガラスの熱処理温度の異なる試料の、室温における  $\text{Eu}^{3+}$ イオンの発光スペクトルである。試料の  $\text{Eu}^{3+}$ 濃度はモル比  $\text{Al}^{3+}/\text{Eu}^{3+}=5$  で、励起波長は 3950 Å ( $^7\text{F}_0 \rightarrow ^5\text{L}_6$  遷移) である。観測された発光バンドはすべて  $^5\text{D}_0$  状態から  $^7\text{F}_{J=0,1,2,3,4}$  状態への遷移に対応しており、 $^5\text{D}_1$  状態から発光は観測されなかった。また、 $\text{Al}^{3+}$ を含まない  $\text{SiO}_2$  ゲルガラス中の  $\text{Eu}^{3+}$ の  $^6\text{D}_0 \rightarrow ^7\text{F}_0$  遷移発光は、 $\text{Al}^{3+}$ を含む場合に比べ約 5 Å 長波長側にシフトしている。それ以外の発光バンドの波長は、2種類の試料で同じであった。

ゾルーゲル反応により作製した直後の wet ゲルや 200 °Cで熱処理した試料は多孔質になって

おり、その細孔に水や未反応の OH 基が残っている<sup>4)</sup>。熱処理温度を上昇させると、重縮合反応や水の気化が更に進み、試料は高密度化する。約 800 °C 以上の熱処理により細孔のないガラスになると言われている<sup>5)</sup>。この熱処理による構造変化は図 2 の発光スペクトルにも反映している。

図 2 の wet ゲルや 200 °C の熱処理した試料のスペクトルは弱く、構造がない。これらは溶液中の Eu<sup>3+</sup>イオンの発光スペクトルと似ており<sup>6)</sup>、Eu<sup>3+</sup>の周りに OH 基や O-R 基が残っており、それらが対称性良く配位しているためと考えられる。また、OH 基は大きな振動エネルギーをもっており、そのフォノンによる無輻射遷移のため発光は弱い。

熱処理温度を上げていくと、発光強度は増し、<sup>5</sup>D<sub>0</sub> → <sup>7</sup>F<sub>1</sub> 遷移(5920 Å 発光)や<sup>5</sup>D<sub>0</sub> → <sup>7</sup>F<sub>2</sub> 遷移(6165 Å 発光)のバンド幅が広がり、分裂した構造が見えてくる。これは、H<sub>2</sub>O の気化が進み、また未反応の OH 基が重縮合し、Eu<sup>3+</sup>イオンを SiO<sub>2</sub> のネットワークがより強く取り囲んだためと考えられる。ゲルガラス中では、Eu<sup>3+</sup>イオンとその周りの酸素との距離やその配位は、サイトによって異なり不均一である。熱処理が進むにつれてその不均一性が増し、結晶場の対称性が悪くなり。これにつれて<sup>5</sup>D<sub>0</sub> → <sup>7</sup>F<sub>1</sub> 遷移は 3 つにシュタルク分裂し、その分裂幅も大きくなっていく。また、5800 Å の<sup>5</sup>D<sub>0</sub> → <sup>7</sup>F<sub>0</sub> 遷移には、全軌道角運動量 J による縮退の影響がないためガウス状の単純なスペクトルを成しているが、熱処理温度の上昇に対してバンド幅は約 50 cm<sup>-1</sup> から約 150 cm<sup>-1</sup> と増加している。このバンド幅の温度変化も各サイトの不均一性の増大に起因している。

図 3 に Al<sup>3+</sup>を含まない SiO<sub>2</sub> ゲルガラス中の Eu<sup>3+</sup>イオンの発光スペクトルのル励起波長依存性、図 4 に 5Al<sub>2</sub>O<sub>3</sub> · 95SiO<sub>2</sub> ゲルガラス中の Eu<sup>3+</sup>イオンの発光スペクトルの励起波長依存性を示す。これらの試料は 900 °C で熱処理したもので測定温度は 77K である。励起波長は、<sup>7</sup>F<sub>0</sub> → <sup>5</sup>D<sub>2</sub> 遷移の吸収バンドに対応した 4450 Å ~ 4670 Å の範囲で変えており、励起光のバンド幅は約 20 Å であった。図 3 から分かるように Al<sup>3+</sup>を含まない試料では、発光スペクトルは励起波長に依存せずスペクトルの形はほとんど同じである。

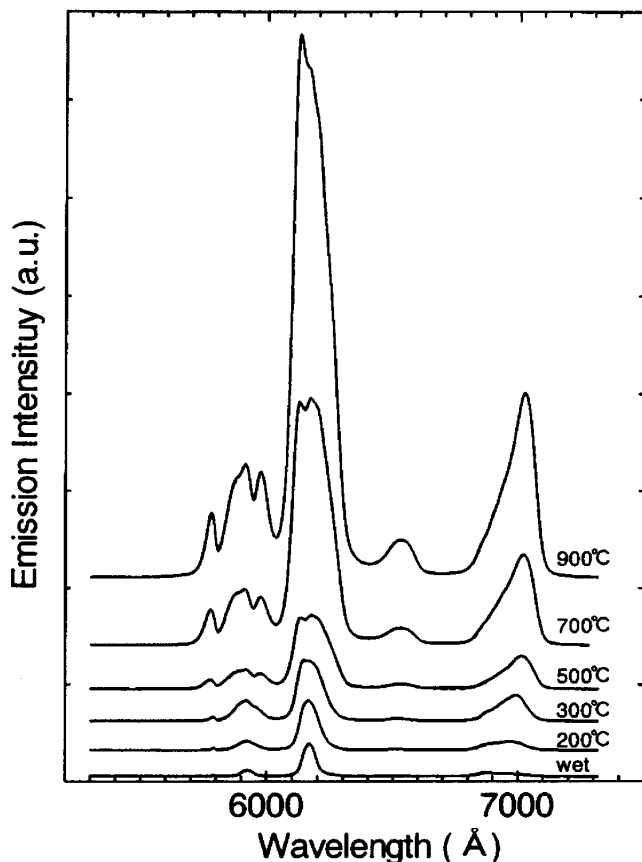


図 2 热処理温度の異なる 5Al<sub>2</sub>O<sub>3</sub> · 95SiO<sub>2</sub> ゲルガラスの室温における発光スペクトル

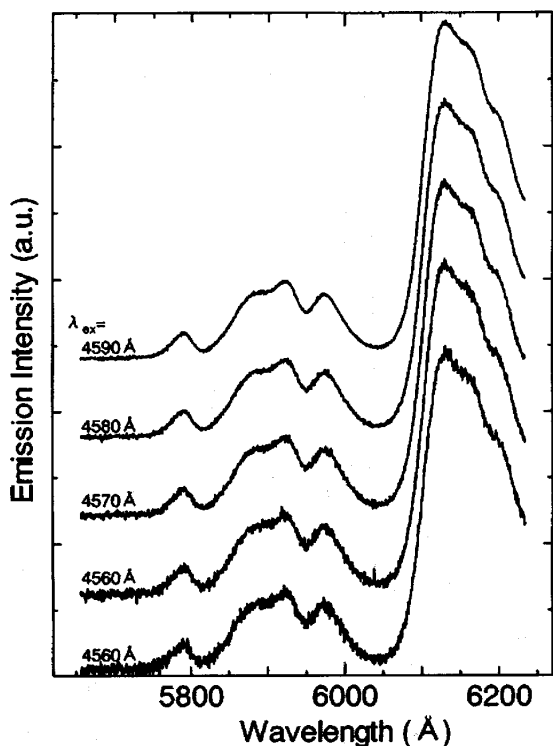


図3  $\text{SiO}_2$  ゲルガラス中の  $\text{Eu}^{3+}$  イオンの発光スペクトルの励起波長依存性

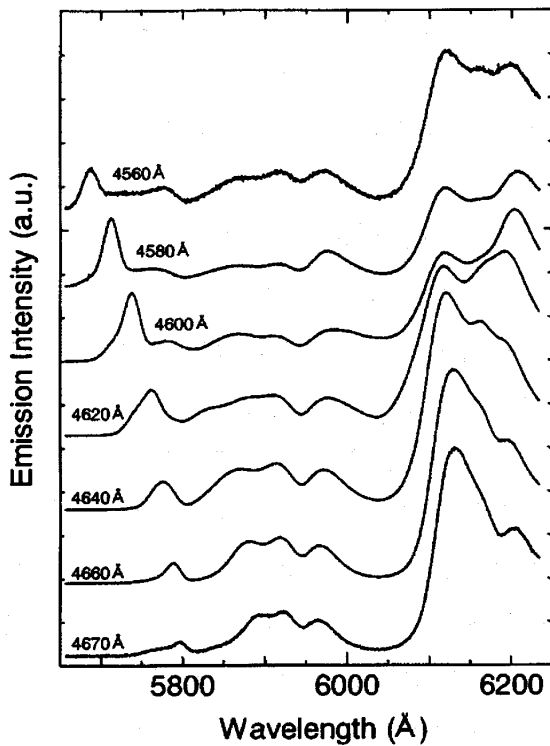


図4  $5\text{Al}_2\text{O}_3 \cdot 95\text{SiO}_2$  ゲルガラス中の  $\text{Eu}^{3+}$  イオンの発光スペクトルの励起波長依存性

希土類イオンを添加した結晶中において、そのイオン間距離が近い場合、励起エネルギーの共鳴によるエネルギー伝達が起こる。その励起エネルギーが結晶中を  $100\text{\AA}$  近く動き回った後、発光することが知られている<sup>7)</sup>。ゲルガラス中でもこのように励起エネルギーの移動がおこっていると考えられる。そのため、直接励起された  $\text{Eu}^{3+}$  イオンからは発光せず、拡散した後エネルギーの低い局所構造をもつ  $\text{Eu}^{3+}$  イオンで発光する。そのため、それらはよく似た発光スペクトルとなっており、励起波長によりスペクトルが変化しないと考えられる。

一方、図4の  $\text{Al}^{3+}$  を添加した  $\text{Eu}^{3+}$  の発光スペクトルは励起波長により大きく変化し、いわゆる、fluorescence line narrowing が観測された。励起波長が短波長になるにつれて、 $5780\text{\AA}$  の  ${}^5\text{D}_0 \rightarrow {}^7\text{F}_0$  遷移の発光バンドが短波長側にシフトし、また、 $5900\text{\AA}$  付近の  ${}^5\text{D}_0 \rightarrow {}^7\text{F}_1$  遷移の発光バンドのシタルク分裂幅が広くなっている。このように励起波長により発光スペクトルが異なるのは、 $\text{Eu}^{3+}$  イオンのあるそれぞれのサイトで結晶場の強さや対称性が異なっており、励起エネルギーが光吸収した  $\text{Eu}^{3+}$  イオンから移動せず、そのサイトで発光しているためと考えられる。このように発光スペクトルが励起波長依存性を示すのは、 $\text{Al}^{3+}$  イオン添加により  $\text{Eu}^{3+}$  イオンのクラスターが解消されたことを示している。

## 3.2 勉起スペクトルとフォノンサイドバンド (Phonon Sideband : PSB)

図5に 5Al<sub>2</sub>O<sub>3</sub> · 95SiO<sub>2</sub> ゲルガラス中の Eu<sup>3+</sup>イオンの  $^5D_0 \rightarrow ^7F_2$  遷移(6150 Å)の発光強度の勉起波長依存性-勉起スペクトラーを示す。試料は 900 °Cで熱処理したもので Eu<sup>3+</sup>の濃度が Al<sup>3+</sup> / Eu<sup>3+</sup>=5 である。測定温度は 77K である。一般に、勉起スペクトルは吸収スペクトルに対応する。3950 Åと 4640 Åにある強い吸収は、それぞれ  $^7F_0 \rightarrow ^5L_6$  遷移,  $^7F_0 \rightarrow ^5D_2$  遷移に対応しており、図中の 60 倍のスペクトルは  $^7F_0 \rightarrow ^5D_2$  遷移の短波長側を拡大している。図6に、 $^7F_0 \rightarrow ^5D_2$  遷移の裾の部分を拡大したスペクトルの Al<sup>3+</sup>イオン濃度依存性を示す。Al<sup>3+</sup>イオンを含まない SiO<sub>2</sub> ゲルガラス中では、4450Å 付近のみに構造があり、Al<sup>3+</sup>イオンの添加量に応じて、 $^7F_0 \rightarrow ^5D_2$  遷移の長波長側に新たなバンドが現れ、強くなっている。4450 Åのバンドは Eu<sup>3+</sup>イオンと Si-O- の伸縮振動モードとのカップリングに起因し、その振動エネルギーは 920cm<sup>-1</sup> である<sup>8)</sup>。Al<sup>3+</sup>濃度が増加すると、さらに、650cm<sup>-1</sup> と 545cm<sup>-1</sup> の振動モードが現れてくる。

Al<sup>3+</sup>イオンは通常、ガラス中で 4 配位の四面体構造(AlO<sub>4</sub> 群)か、6 配位の八面体構造(AlO<sub>6</sub>)をとることが知られている。Tarte は、アルミノ珪酸塩ガラスの赤外吸収から Al-O-の振動モードとして、4 配位の AlO<sub>4</sub> に対して 900 ~ 700cm<sup>-1</sup> のバンドがあり、6 配位の AlO<sub>6</sub> に対して 680 ~ 500cm<sup>-1</sup> のバンドがあると報告している<sup>9)</sup>。従って、観測された 545cm<sup>-1</sup> のバンドは、八面体をなす AlO<sub>6</sub> の Al-O の伸縮振動、650cm<sup>-1</sup> のバンドは四面体をなす AlO<sub>4</sub> の Al-O の伸縮

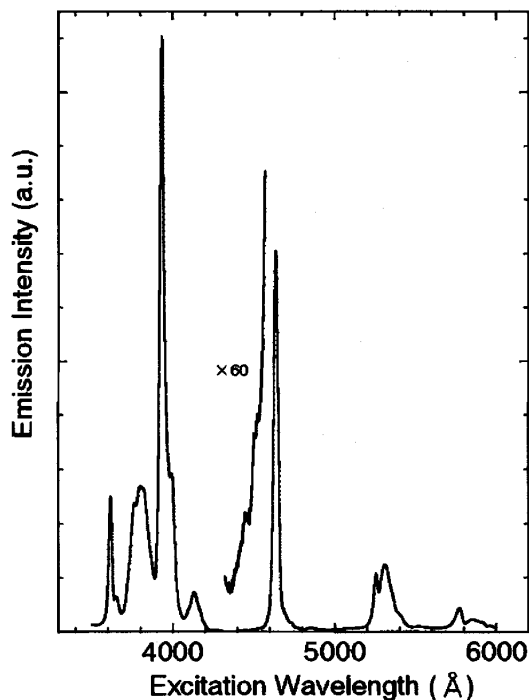


図5 5Al<sub>2</sub>O<sub>3</sub> · 95SiO<sub>2</sub> ゲルガラス中の Eu<sup>3+</sup>イオンの 6150 Åの発光の勉起波長依存性

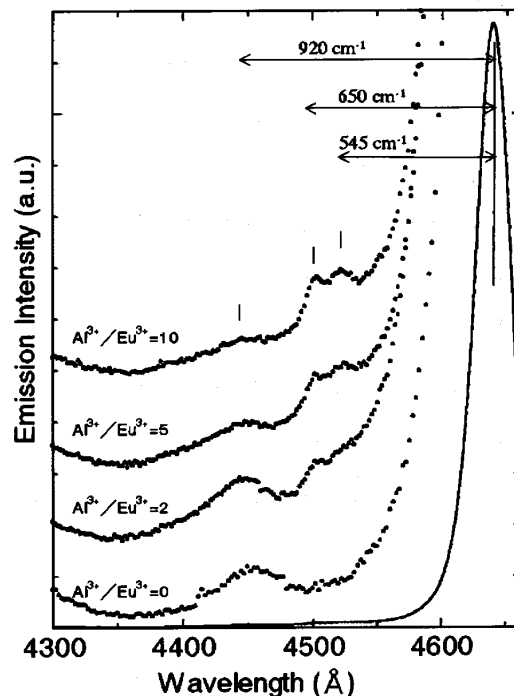


図6  $^7F_0 \rightarrow ^5D_2$  遷移 Phonon Sideband

振動に対応しており、ゲルガラス中で  $\text{Al}^{3+}$  イオンは 4 配位の四面体構造( $\text{AlO}_4$ )と 6 配位の八面体構造( $\text{AlO}_6$ )の 2 種類の構造を取っている。このように、 $\text{Al}^{3+}$  は  $\text{Al}_2\text{O}_3 - \text{SiO}_2$  ゲルガラス中において、 $\text{AlO}_n$  の多面体構造を取ることから、その電荷を補償するイオンとして  $\text{Eu}^{3+}$  イオンが働き、 $\text{Eu}^{3+}$  のクラスター形成を妨げていると考えられる。

#### 4. まとめ

ゾルーゲル法により  $\text{Eu}^{3+}$  を添加した  $\text{SiO}_2$  ゲルガラスと  $\text{Al}_2\text{O}_3 \cdot \text{SiO}_2$  ゲルガラスを作製した。 $\text{Eu}^{3+}$  イオンの吸収ピークである 394nm( ${}^7\text{F}_0 \rightarrow {}^5\text{L}_6$  遷移)で励起した場合、2種類のゲルガラス中の  $\text{Eu}^{3+}$  の発光スペクトルには違いが見られなかったが、464nm( ${}^7\text{F}_0 \rightarrow {}^5\text{D}_2$  遷移)の短波長の裾の波長で励起した場合、励起波長により発光スペクトルに違いが現れ、fluorescence line narrowing が観測された。この観測から、 $\text{Eu}^{3+}$  イオンと  $\text{Al}^{3+}$  イオンを共添加することにより  $\text{Eu}^{3+}$  イオンのクラスターを解消できることが確認された。

また、 ${}^5\text{D}_0 \rightarrow {}^7\text{F}_0$  遷移の励起スペクトルの観測から、 ${}^7\text{F}_0 \rightarrow {}^5\text{D}_2$  遷移の短波長側に phonon side band を観測した。その解析から、 $\text{Al}^{3+}$  イオンの共添加が  $\text{Eu}^{3+}$  イオンのクラスター化を阻止するのは、 $\text{Al}^{3+}$  がゲルガラス中で  $\text{AlO}_n$  の多面体構造を取るためにあると考えられる。

#### 参考文献

- 1) I. M. Thomas, S. A. Payne and G. D. Wilke, J. Non-Cryst. Solids 151(1992)183.
- 2) T. Catunda, L. Nunes and A. Florez, Phys. Rev. B 53(1996)6065.
- 3) T. Izumitani and Payne, J. Lumin. 54(1993)337.
- 4) R. Campostrini, G. Carturan and M. Montagna, J. Mater. Res., 7(1992)745.
- 5) M. Nogami, J. Non-Cryst. Solids 175(1994)320.
- 6) 平成 12 年度卒業論文
- 7) W. G. Gandrud and H. W. Moos, J. Chem. Phys 49(1968)2170
- 8) S. Tanabe, S. Todoroki, K. Hirao and N. Soga, J. Non-cryst. Solids, 122(1990)59
- 9) P. Tarte, Spectrochim. Acta., 23A(1967)2127

(平成 14 年 12 月 6 日受理)